

## Hinweis

Die vorliegende Lösung wurde im Rahmen der jeweiligen Lehrveranstaltung an der Universität Bonn erstellt. Sofern im oberen Teil der ersten Seite oder auf der unten angegebenen Webseite nicht anders vermerkt, wurde diese Lösung von mir, Marvin Zanke, alleine angefertigt und eingereicht. Bei allem in einer anderen Farbe als dem üblichen Blau handelt es sich in der Regel um Korrekturen von mir oder des Tutors. Für mehr Informationen und meine gesamten Unterlagen, siehe:

<https://www.physics-and-stuff.com/>

**Ich erhebe keinen Anspruch auf Richtigkeit und Vollständigkeit der vorliegenden Lösungen! Dies gilt ebenso für obengenannte Korrekturen.**

Dieses Werk von [Marvin Zanke](#) ist lizenziert unter einer [Creative Commons Namensnennung – Nicht-kommerziell – Weitergabe unter gleichen Bedingungen 4.0 International Lizenz.](#)

# Physik II Blatt 1

Marvin Zankel, Übung 3 bei Florian

Nr. 1) 1)  $\frac{d^2x}{dt^2} + \Gamma \frac{dx}{dt} + \omega_0^2 x = -\frac{e}{mc} E_0 e^{-i\omega t}$  9.5P/10P

wobei  $E(t) = E_0 e^{-i\omega t}$

5	7
6	2
2	3
7	1
2.5/120	M

Kräfteplan

Als Ansatz wähle ich für das eingeschwingende System:

$$x(t) = x_0 e^{-i\omega t} \quad \checkmark$$

$$\Rightarrow \dot{x}(t) = -i\omega x_0 e^{-i\omega t}, \quad = -i\omega x(t)$$

$$\ddot{x}(t) = -\omega^2 x_0 e^{-i\omega t} = -\omega^2 x(t)$$

$$\Leftrightarrow -\omega^2 x(t) + \Gamma(-i\omega)x(t) + \omega_0^2 x(t) = -\frac{e}{mc} E_0 e^{-i\omega t}$$

$$\Leftrightarrow -\omega^2 x_0 - i\omega \Gamma x_0 + \omega_0^2 x_0 = -\frac{e}{mc} E_0$$

$$\Leftrightarrow x_0 (\omega_0^2 - \omega^2 - i\omega \Gamma) = -\frac{e}{mc} E_0$$

$$\Leftrightarrow x_0 = \frac{-\frac{e}{mc} E_0}{\omega_0^2 - \omega^2 - i\omega \Gamma} \quad \checkmark$$

Für die Polarisierbarkeit gilt nun:  $\alpha(\omega) = \frac{\rho(t)}{E_0 E(t)}$

$$\Rightarrow \alpha(\omega) = \frac{-\frac{e}{mc} X_0 e^{-i\omega t}}{E_0 E_0 e^{-i\omega t}} = -\frac{e}{mc E_0} X_0 = -\frac{e}{mc E_0} \frac{-\frac{e}{mc} E_0}{\omega_0^2 - \omega^2 - i\omega \Gamma}$$

$$= \frac{e^2}{mc me} \cdot \frac{1}{\omega_0^2 - \omega^2 - i\omega \Gamma} \quad \checkmark$$

$$2) \quad \chi_r(\omega) = \rho \alpha(\omega), \quad \epsilon_r = 1 + \chi_r = [n'(\omega) + ik(\omega)]^2$$

$$\Rightarrow n'(\omega) + ik(\omega) = \sqrt{1 + \chi_r} \approx 1 + \frac{\chi_r}{2} \quad \checkmark$$

$$\Rightarrow n'(\omega) + ik(\omega) \approx 1 + \frac{\rho \alpha(\omega)}{2} = 1 + \frac{1}{2} \rho \frac{e^2}{mc me} \cdot \underbrace{\frac{1}{\omega_0^2 - \omega^2 - i\omega \Gamma}}_{(*)}$$

$$(*) = \frac{(\omega_0^2 - \omega^2) + i\omega \Gamma}{((\omega_0^2 - \omega^2) - i\omega \Gamma)((\omega_0^2 - \omega^2) + i\omega \Gamma)}$$

$$= \frac{\omega_0^2 - \omega^2 + i\omega \Gamma}{(\omega_0^2 - \omega^2)^2 + \omega^2 \Gamma^2}$$

$$\Rightarrow n'(\omega) + ik(\omega) \approx 1 + \frac{\rho e^2}{2cm} \frac{\omega_0^2 - \omega^2}{(\omega_0^2 - \omega^2)^2 + \omega^2 \Gamma^2} + i \frac{\rho e^2}{2cm} \frac{\omega \Gamma}{(\omega_0^2 - \omega^2)^2 + \omega^2 \Gamma^2} \quad \checkmark$$

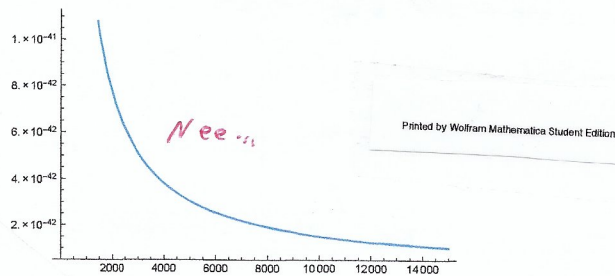
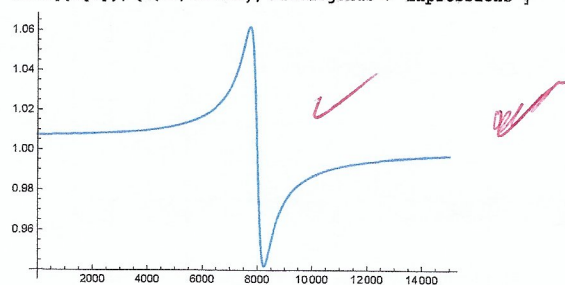
```

r = 300;
e = 1.6*^19;
e0 = 8.8*^12;
m = 9.1*^31;
g = 500;
w0 = 8000;

n[w_] := 1 + ((r * e^2) / (2 * e0 * m)) * ((w0^2 - w^2) / ((w0^2 - w^2)^2 + g^2 * w^2));
k[w_] := (r * e^2 * g * w) / (2 * e0 * m * (w0^2 - w^2)^2 + g^2 * w^2);

Plot[{n[w]}, {w, 0, 15000}, PlotLegends → "Expressions"]
Plot[{k[w]}, {w, 0, 15000}, PlotLegends → "Expressions"]

```



3) Die Absorption  
nimmt mit steigender  
Anregungsfrequenz  
immer weiter ab. ✓

Der Brechungsindex steigt bis zur Resonanzfrequenz an, fällt  
kurz vorher sehr stark ab und ist bei ca. etwa 1. Danach  
fällt der Brechungsindex weiter, bis er kurz nach w<sub>0</sub> wieder ansteigt  
und bei etwa 1 wieder antrifft.

# Resonanzen  
in Lorentz-/Bohr-Modell?

Gemeinsamkeiten zwischen Bohr und Lorentz sind, dass man  
bei beiden Modellen einen festen Ort am jedes Teilchen zuteilt.  
Beide bewegen sich nach klassischen Gesetzen.

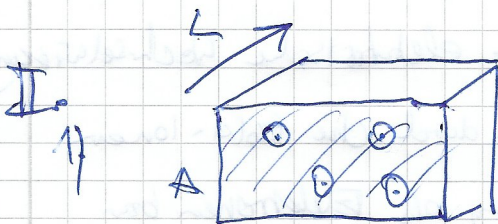
Die Unterschiede liegen auf der Hand: Das Lorentzmodell schwingt  
und verliert dadurch kontinuierlich Energie, während das Bohrmodell  
nur bei Beimwechseln Energie absorbiert und diese auf einer  
festen Bahn konstant ist während das Teilchen sich bewegt. ✓

Dies ist auch der Grund, dass das Lorentzmodell bei Wasserstoff Schleife.  
Es kann keine diskreten Energieniveaus vorhersagen, sondern nur kontinuierliche.

4.) Normale Dispersion: kleinere Wellenlänge wird stärker gebrochen  
OK

Sättigt dann für zu kleine Frequenzen bei einem Wert

$\eta_0 \Rightarrow$  heißt sie Lorentz-Resonanz



$$n = \frac{N}{V} = \frac{N}{A \cdot L}$$

6P/6P

Nun haben wir die Intensität die in jedem Längsstück etwas abgeschnitten wird, und zwar soviel, dass sie nicht durchkommt, wenn sie mit dem Wirkungsgeschwindigkeit eines Atoms kollidiert!

$\Rightarrow \frac{\sigma}{A}$  ist der Anteil eines Atoms an der Gesamtfläche, die gefährlich (Absorptiv) für die Strahlung sein kann.

$\Rightarrow \frac{\sigma}{A} \cdot N_L$  ist die Fläche pro Längeneinheit, die "im Schnitt" gefährlich für die Strahlung wird.

$$\frac{\sigma}{A} \cdot \frac{N}{L} = \dots \sigma \cdot n \text{ Hieraus ergibt sich eine}$$

$$\text{Diffglg: } \frac{dI}{dl} = -I \sigma \cdot n$$

↑ Verdiest, dass  $L$  in  $n$  ist  $\neq dl$  der  $l$  in  $dl$ ?

$$\Leftrightarrow \frac{dI}{I} = -\sigma n dl \Leftrightarrow \ln(\frac{I}{I_0}) = -\sigma n L + c$$

$$\Leftrightarrow C e^{-\sigma n L} = \frac{I}{I_0} \Leftrightarrow I(l) = I_0 e^{-\sigma n l} \text{ und } I(0) = I_0 \Rightarrow C = 1$$

$$\rightarrow I(l) = I_0 e^{-\sigma n l} \quad \rightarrow I = I_0 e^{-\sigma n l} \text{ nach } l=L$$

2.) Tut er nicht. Der Bereich des Wirkungsquerschnitts ist selbst im klassischen Modell nicht der Bereich in dem sicherlich immer ein Teil des Atoms ist, denn auch hier bewegen die Elektronen sich um den Kern. Außerdem können sich zwei Wirkungsquerschnitte überlagern und das Ergebnis verfälschen.

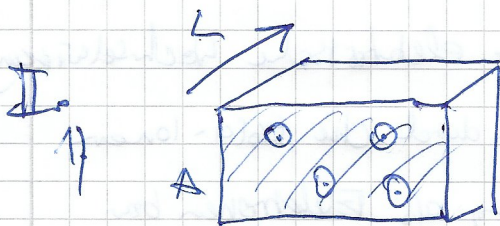
Bei dem erwähnten Beispiel kommt die elektrostatische Wechselwirkung hinzu. Elektronen und Protonen werden durch die Gold-Ionen beeinflusst, da diese eine andere Ladung als Elektronen bzw. Protonen aufweisen. Auch hier kann man keinen klassischen Wirkungsquerschnitt definieren. Das liegt aber auch an der Natur <sup>\*</sup> als Teilchen <sup>#</sup> Quanten-

III. Man nehme einen Gummistab und reibe diesen 2P1&P an einer Welle. Der Stab verliert dadurch Elektronen an die Welle, da die Elektronen dort in einer niedrigeren Energiesorte sind. Nun kann man mit diesem geladenen Stab überprüfen ob er sich von anderen Gegenständen abstoßt oder anzieht. Dabei muss man aufpassen, dass der andere Gegenstand ein guter Isolator ist und hier keine Influenz stattfinden kann, sonst würden die beiden Gegenstände sich auf jedenfall anziehen? OK. Genaugkeit?

\* Diese Aussage möchte bewiesen werden, alternativ ist sie vage zu halten.

Sättigt dann für zu kleine Frequenzen bei einem Wert

$\eta_0 \Rightarrow$  heißt sie Lorentz-Resonanz



$$n = \frac{N}{V} = \frac{N}{A \cdot L}$$

6P/6P

Nun haben wir die Intensität die in jedem Längsstück etwas abgeschwächt wird, und zwar soviel, dass sie nicht durchkommt, wenn sie mit dem Wirkungsgeschwindigkeit eines Atoms kollidiert!

$\Rightarrow \frac{\sigma}{A}$  ist der Anteil eines Atoms an der Gesamtfläche, die gefährlich (Absorption) für die Strahlung sein kann.

$\Rightarrow \frac{\sigma}{A} \cdot N_L$  ist die Fläche pro Längeneinheit, die "im Schnitt" gefährlich für die Strahlung wird.

$$\frac{\sigma}{A} \cdot \frac{N}{L} = \dots \sigma \cdot n, \text{ Hieraus ergibt sich eine}$$

$$\text{Diffglg: } \frac{dI}{dl} = - I \sigma \cdot n$$

Worin liegt der Fehler?

$$\Leftrightarrow \frac{dI}{I} = - \sigma n dl \Leftrightarrow \ln\left(\frac{I}{I_0}\right) = - \sigma n L + C$$

$$\Leftrightarrow C e^{-\sigma n L} = \frac{I}{I_0} \Leftrightarrow I(l) = I_0 e^{-\sigma n l} \text{ und } I(0) = I_0 \Rightarrow C = 1$$

$$\rightarrow I(l) = I_0 e^{-\sigma n l} \quad \rightarrow I = I_0 e^{-\sigma n l} \text{ nach } l=L$$

2) Tut er nicht. Der Bereich des Wirkungsquerschnitts ist selbst im klassischen Modell nicht der Bereich in dem sicherlich immer ein Teil des Atoms ist, denn auch hier bewegen die Elektronen sich um den Kern. Außerdem können sich zwei Wirkungsquerschnitte überlagern und das Ergebnis verfälschen.

Bei dem erwähnten Beispiel kommt die elektrostatische Wechselwirkung hinzu. Elektronen und Protonen werden durch die Gold-Ionen beeinflusst, da diese eine andere Ladung als Elektronen bzw. Protonen aufweisen. Auch hier kann man keinen klassischen Wirkungsquerschnitt definieren. Das liegt aber auch an der Natur\* der Teilchen

\* Quanten-

III. Man nehme einen Gummistab und reibe diesen 2P1&P an einer Welle. Der Stab verliert dadurch Elektronen an die Welle, da die Elektronen dort in einer niedrigeren Energiesorte sind. Nun kann man mit diesem geladenen Stab überprüfen ob er sich von anderen Gegenständen abstoßt oder anzieht. Dabei muss man aufpassen, dass der andere Gegenstand ein guter Isolator ist und hier keine Influenz stattfinden kann, sonst würden die beiden Gegenstände sich auf jedenfall anziehen! OK. Genauigkeit?

\*\* Diese Aussage möchte bewiesen werden, alternativ ist sie vage zu halten.

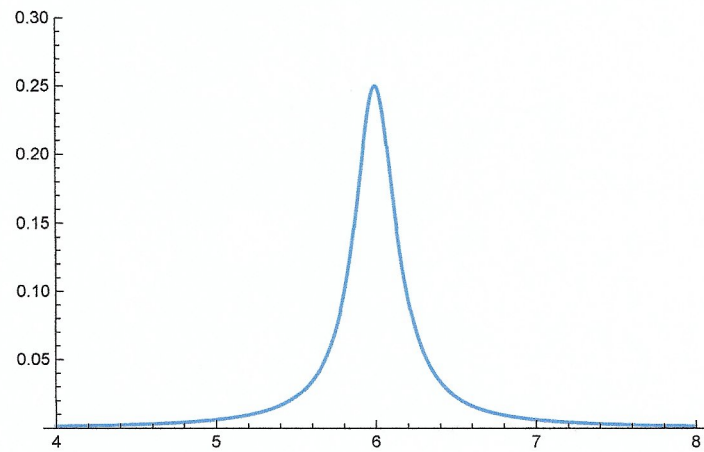
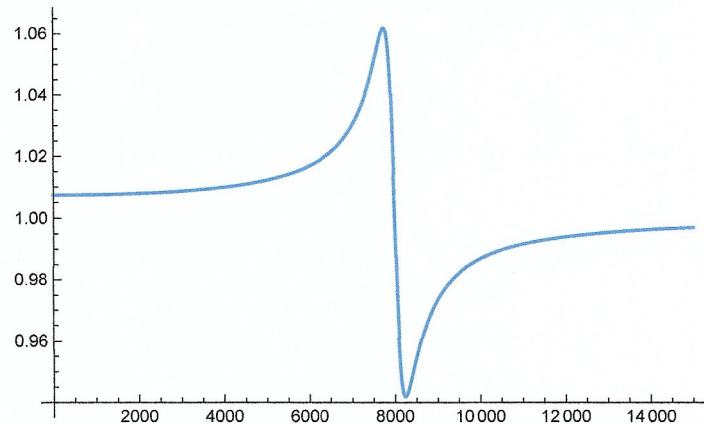
```

r = 300;
e = 1.6*^-19;
e0 = 8.8*^-12;
m = 9.1*^-31;
g = 500;
w0 = 8000;

n[w_] := 1 + ((r * e^2) / (2 * e0 * m)) * ((w0^2 - w^2) / ((w0^2 - w^2)^2 + g^2 * w^2));
Plot[{n[w]}, {w, 0, 15000}, PlotLegends → "Expressions"]

r = 3;
e = 1;
e0 = 4;
m = 5;
g = 2;
w0 = 6;
k[w_] := (r * e^2 * g * w) / (2 * e0 * m * (w0^2 - w^2)^2 + g^2 * w^2);
Plot[{k[w]}, {w, 4, 8}, PlotLegends → "Expressions", PlotRange → {0, 0.3}]

```



Korrektur!